

الْفَضْل

به نام خالق دانا و توانا



دانشگاه مازندران

دانشکده شیمی

پایان نامه:

جهت اخذ درجه کارشناسی ارشد شیمی تجزیه

موضوع:

بررسی الکترواکسایش آسکوربیک اسید و دوپامین در سطح الکترود طلای اصلاح شده با تک لایه های خود انباسته و اجد نانو ذرات طلا و اندازه گیری ولتاوتمتری آنها در حضور یکدیگر

اساتید راهنما:

دکتر جهانبخش رئوف

دکتر ابوالفضل کیانی

استاد مشاور:

دکتر رضا اوجانی

نگارش:

رودابه ولی اللهی

شهریور ۱۳۸۸

آنان که نخستین بار به امید فردایی روشن راه فراگیری علم و دانش را به من
رهنمون شدند پدر و مادر بودند و اکنون که تا به اینجا پیش آمدم نتیجه
زحمات بیدریغ ایشان بود.

نهایت سپاس و تشکر را از این والا گهران ارزشمند اعلام می دارم. خاک پای
ایشان را توپیای چشم خود ساخته و با نهایت خصوع این مدرک کسب شده را
به محضر مبارکشان تقدیم می دارم.

با نهایت خشوع از همه اساتید که سخاوتمندانه فراگرفته‌ی خود را به ما انتقال دادند تشکر و
قدردانی
می‌نمایم.

آنانکه زحمات بیدریغ و تلاش بی وقفه نمودند تا بیاموزند آموختنی‌ها را.

تقدیم به پیشگاه این خورشید صفتان جهان علم و دانش

با سپاس فراوان خدمت

جناب آقای پروفسور جهانبخش رئوف و دکتر ابوالفضل کیانی
و
دکتر رضا اوچانی

و همچنین صمیمانه ترین مراتب سپاسگذاری خود را حضور
جناب آقای دکتر محمد رضا حاج محمدی و دکتر محمد حسین فاطمی
جهت مطالعه دقیق پایان نامه و پیشنهادهای ارزنده
و نیز جناب آقای دکتر سید ناصر عزیزی به عنوان نماینده تحصیلات تکمیلی
و کلیه اساتید محترم دانشکده شیمی و
همچنین دوستان و دانشجویان آزمایشگاه تحقیقاتی الکتروشیمی تجزیه‌ای
اعلام می‌دارم.

فهرست مطالب

صفحه

عنوان

(خ).....	فهرست شکل ها
(ر).....	فهرست جداول
(ر).....	فهرست شمای
(ر).....	فهرست عالیم و اختصارات
(ز).....	چکیده فارسی
۷۹.....	چکیده انگلیسی
۱.....	فصل اول: مقدمه
فصل دوم: مبانی تئوری	
۸.....	۲-۱- واکنشهای الکتروشیمیایی
۹.....	۲-۲- واکنشهای شیمیایی همراه
۱۰.....	۳-۲- جذب سطحی
۱۰.....	۴-۲- تشکیل فاز
۱۱.....	۱-۶- الکترودهای اصلاح شده با تک لایه
۱۱.....	۶-۲- معرف های اصلاح کننده
۱۱.....	۵-۲- الکترودهای اصلاح شده شیمیایی
۱۲.....	۲-۶- الکترودهای اصلاح شده با فیلم های معدنی
۱۳.....	۳-۶-۲- الکترودهای اصلاح شده با مواد زیستی
۱۴.....	۴-۶-۲- الکترودهای اصلاح شده با چند ترکیبی و ساختارهای چند لایه ای
۱۴.....	۷-۲- فناوری نانو
۱۵.....	۱-۷-۲- نانو ذرات فلزی
۱۶.....	۲-۷-۲- روش های ثبیت نانو ذرات فلزی بر سطح الکترود
۱۷.....	۳-۷-۲- خواص کاتالیتیکی نانو ذرات
۱۸.....	۴-۷-۲- نانو لوله های کربنی
۱۹.....	۸-۲- دوبامین و آسکوربیک اسید
فصل سوم: بخش تجربی	
۲۳.....	۳-۱- مواد شیمیایی مورد نیاز
۲۴.....	۲-۳- تجهیزات
۲۵.....	۳-۳- روش تهیه و ویژگیهای نانو ذرات طلای مورد استفاده در این پایان نامه

۲۵.....	۴-۳- الکترودهای مورد استفاده
۲۶.....	۴-۳- تهیه الکترودهای کار اصلاح شده Au/SAM/nAu
۲۷.....	۴-۳-۱- علت استفاده از تیول مخلوط
۲۷.....	۴-۳-۲- روش ثبیت تک لایه های خود انباسته و نانو ذرات طلا بر سطح الکترود طلا
۲۹.....	۴-۳-۳- بررسی مراحل مختلف اصلاح الکترود به روش ولتامتری چرخه ای

فصل چهارم: بررسی رفتار دوپامین و آسکوربیک اسید بر سطح الکترود

اصلاح شده تک لایه خود انباسته / نانو ذرات طلا

۳۲.....	۴-۱- تعیین زمان بهینه شناورسازی الکترود Au/SAM/nAu
۳۳.....	۴-۲- تعیین pH بهینه برای جداسازی دماغه ای اکسیداسیون آسکوربیک اسید و دوپامین در سطح الکترود اصلاح شده
۳۷.....	۴-۳- اندازه گیری آسکوربیک اسید و دوپامین در سطح الکترود اصلاح شده
۳۸.....	۴-۴- اندازه گیری آسکوربیک اسید به روش ولتامتری روش خطی
۳۹.....	۴-۵- اندازه گیری دوپامین به روش ولتامتری روش خطی
۴۰.....	۴-۶- اندازه گیری آسکوربیک اسید به روش ولتامتری پالس تفاضلی
۴۱.....	۴-۷- اندازه گیری دوپامین به روش ولتامتری پالس تفاضلی
۴۲.....	۴-۸- اندازه گیری آسکوربیک اسید به روش ولتامتری موج مربعی
۴۳.....	۴-۹- اندازه گیری دوپامین به روش ولتامتری موج مربعی
۴۴.....	۴-۱۰- بررسی اثر سرعت روش پتانسیل بر فرآیند اکسایش الکتروکاتالیزی آسکوربیک اسید و دوپامین در سطح الکترود Au/SAM/nAu
۴۷.....	۴-۱۱- تعیین ضریب انتشار آسکوربیک اسید و دوپامین
۴۹.....	۴-۱۲- بررسی اثر مزاحمت گلوتاپیون و L- سیستئین بر اندازه گیری آسکوربیک اسید و دوپامین در سطح الکترود Au/SAM/nAu
۵۰.....	۴-۱۳- مقایسه نتایج حاصل از اندازه گیری آسکوربیک اسید و دوپامین با نتایج سایر محققین
۵۲.....	۴-۱۴- نتیجه گیری

فصل پنجم: بررسی الکتروشیمی میوه های موز بر سطح الکترود خمیر کربن واحد

نانو لوله های کربنی چند دیواره و موز

۵۴.....	۵-۱- آماده سازی نانو لوله های کربنی
۵۴.....	۵-۲- تهیه الکترود خمیر کربن واحد نانو لوله های کربنی اصلاح شده با موز
۵۴.....	۵-۳- بررسی رفتار الکتروشیمیایی الکترود خمیر کربن واحد نانو لوله های کربنی چند دیواره اصلاح شده با موز

عنوان

صفحه

٤-٥- بررسی اثر مقدار نانو لوله های کربنی چند دیواره در پیکره ای الکترود خمیر کربن.....	٥٦
٥-٥- بررسی تأثیر درصد مواد موجود در خمیر کربن اصلاح شده.....	٥٧
٥-٦- مطالعه ای تأثیر pH.....	٥٨
٥-٧- تهیه الکترود خمیر کربن واجد نانو لوله های کربنی چند دیواره اصلاح شده با سیب.....	٦٠
٥-٨- بررسی تأثیر دما بر پاسخ الکتروشیمیایی الکترود خمیر کربن واجد نانو لوله های کربنی چند دیواره اصلاح شده با مواد.....	٦١
٥-٩- مطالعه اثر سرعت روبش پتانسیل بر پاسخ الکتروشیمیایی الکترود خمیر کربن واجد نانو لوله های کربنی چند دیواره اصلاح شده با مواد.....	٦٢
٥-١٠- مطالعه ای پایداری الکترود خمیر کربن واجد نانو لوله های کربنی چند دیواره اصلاح شده با مواد.....	٦٣
٥-١١- اندازه گیری دوپامین در سطح الکترود خمیر کربن واجد نانو لوله های کربنی چند دیواره اصلاح شده با مواد.....	٦٥
٥-١٢- بررسی اثر مزاحمت آسکوربیک اسید بر اندازه گیری دوپامین در سطح الکترود خمیر کربن واجد نانو لوله های کربنی چند دیواره اصلاح شده با مواد.....	٦٧
٥-١٣- نتیجه گیری.....	٦٩
٥-١٤- پیشنهادات کارهای آینده.....	٧١
٥-١٥- منابع.....	٧٢

فهرست شکل ها

عنوان

صفحه

شکل ٢-١- مسیر کلی یک واکنش الکتروشیمیایی	٨
شکل ٢-٢: انواع نانو لوله های کربنی، (الف): نانو لوله تک دیواره، (ب): نانو لوله چند دیواره.....	١٩
شکل ٣-١- (الف): دستگاه پتانسیو استات / گالوانو استات (BHP-٢٠٦٣) از شرکت بهپژوه ایران، (ب): دستگاه پتانسیو استات / گالوانو استات اتولب.....	٢٤
شکل ٢-٣- تصویر TEM نانو ذرات طلای مورد استفاده.....	٢٥
شکل ٣-٣- ولتاوموگرام چرخه ای پیش تیمار الکترود کار در محلول M ٥٪ اسید سولفوریک در سطح الکترود طلا.....	٢٧

عنوان

صفحة

- شكل ٤-٣ - ولتاموگرام چرخه ای فروسیانید mM ٢/٠ در ٠/١ M KCl در سطح الکترود طلا در مراحل مختلف اصلاح ٢٩
- شكل ٤-١ - ولتاموگرام چرخه ای محلول فروسیانید mM ٢/٠ در ٠/١ M KCl در سطح الکترود Au/SAM/nAu در زمان های مختلف شناور سازی الکترود Au/SAM/nAu ٣٣
- شكل ٤-٢ - ولتاموگرام چرخه ای محلول آسکوربیک اسید و دوپامین در سطح الکترود Au/SAM/nAu طلا در pH های مختلف ٣٥
- شكل ٤-٣ - ولتاموگرام چرخه ای محلول شامل mM ٠/١ آسکوربیک اسید و mM ٠/١ دوپامین در سطح pH = ٥/٠٠) در سطح الکترود طلا در مراحل مختلف اصلاح ٣٦
- شكل ٤-٤ - ولتاموگرام چرخه ای محلول آسکوربیک اسید و دوپامین (pH = ٥/٠٠) در سطح الکترود Au/SAM/nAu ٣٦
- شكل ٤-٥ - (الف): ولتاموگرام روبش خطی پتانسیل آسکوربیک اسید در غلظتها مختلف در سطح الکترود Au/SAM/nAu (ب): منحنی استاندارد جریان اکسیداسیون آسکوربیک اسید بر حسب غلظت آسکوربیک اسید ٣٨
- شكل ٤-٦ - (الف): ولتاموگرام روبش خطی دوپامین در غلظتها مختلف در سطح الکترود Au/SAM/nAu (ب): منحنی استاندارد جریان اکسیداسیون دوپامین بر حسب غلظت دوپامین ٣٩
- شكل ٤-٧ - (الف): ولتاموگرام پالس تفاضلی آسکوربیک اسید در غلظتها مختلف در سطح الکترود Au/SAM/nAu (ب): منحنی استاندارد جریان اکسیداسیون آسکوربیک اسید بر حسب غلظت آسکوربیک اسید ٤٠
- شكل ٤-٨ - (الف): ولتاموگرام پالس تفاضلی دوپامین در غلظتها مختلف در سطح الکترود Au/SAM/nAu (ب): نمودار جریان اکسیداسیون دوپامین بر حسب غلظت دوپامین ٤١
- شكل ٤-٩ - (الف): ولتاموگرام موج مربعی آسکوربیک اسید در غلظتها مختلف در سطح الکترود Au/SAM/nAu (ب): منحنی استاندارد جریان اکسیداسیون آسکوربیک اسید بر حسب غلظت آسکوربیک اسید ٤٢
- شكل ٤-١٠ - (الف): ولتاموگرام موج مربعی دوپامین در غلظتها مختلف در سطح الکترود Au/SAM/nAu (ب): منحنی استاندارد جریان اکسیداسیون دوپامین بر حسب غلظت دوپامین ٤٣
- شكل ٤-١١ - (الف) ولتاموگرام چرخه ای محلول آسکوربیک اسید در سطح الکترود Au/SAM/nAu (ب) در سرعت روبش های مختلف. نمودار تغییرات جریان بر حسب سرعت روبش پتانسیل (٧) ٤٥
- شكل ٤-١٢ - (الف): ولتاموگرام چرخه ای محلول دوپامین در سطح الکترود Au/SAM/nAu (ب) در سرعت روبش های مختلف. نمودار تغییرات جریان بر حسب سرعت روبش پتانسیل (٧) ٤٦

عنوان

صفحة

- شكل ۴-۱۳- (الف): کرونوآمپروگرام محلول آسکوربیک اسید در سطح الکترود Au/SAM/nAu ۴۸
(pH=۰/۰). (ب): نمودار تغییرات جریان آندی بر حسب $t^{-1/2}$ ۴۸
- شكل ۴-۱۴- (الف): کرونوآمپروگرام محلول دوپامین در سطح الکترود Au/SAM/nAu ۴۸
(pH = ۰/۰). (ب): نمودار تغییرات جریان آندی بر حسب $t^{-1/2}$ ۴۸
- شكل ۴-۱۵- ولتاموگرام چرخه ای محلول (الف): گلوتاتیون و (ب): L-سیستئن در سطح الکترود Au/SAM/nAu (pH = ۰/۰/۵) ۴۹
- شكل ۵-۱- ولتاموگرام چرخه ای : (a) خمیر کربن ساده، (b) خمیر کربن اصلاح شده با ۵٪ از MWCNTs ، (c) خمیر کربن اصلاح شده با ۵٪ از موز، (d) خمیر کربن اصلاح شده با ۵٪ از MWCNTs بعلاوه ۵٪ (pH = ۰/۰/۷) ۵۵
- شكل ۵-۲- ولتاموگرام الکترود CPE-MWCNTs-Ban در درصدهای متفاوت از MWCNTs ۵۶
- شكل ۵-۳- ولتاموگرام چرخه ای الکترود CPE-MWCNTs-Ban در درصدهای مختلفی از موز ۵۷
- شكل ۵-۴- ولتاموگرام چرخه ای الکترود CPE-MWCNTs-Ban در pH های مختلف ۵۹
- شكل ۵-۵- ولتاموگرام چرخه ای الکترود اصلاح شده با نانو لوله های کربنی با موز و سیب ۶۱
- شكل ۵-۶- ولتاموگرام چرخه ای الکترود CPE-MWCNTs-Ban شرایط: (a) بدون حرارت دادن موز، (b) با حرارت دادن موز ۶۲
- شكل ۵-۷- (الف): ولتاموگرام چرخه ای الکترود خمیر کربن واجد نانو لوله های کربنی اصلاح شده با موز در (pH = ۰/۰/۷) در سرعت روبش های مختلف. نمودار تغییرات جریان بر حسب سرعت روبش پتانسیل (v) (ب) و جذر سرعت روبش $v^{1/2}$ (ج) ۶۳
- شكل ۵-۸- ولتاموگرام چرخه ای متوالی الکترود CPE-MWCNTs-Ban ۶۴
- شكل ۵-۹- ولتاموگرام پالس تفاضلی دوپامین در محلول بافر فسفات (pH = ۷/۰/۰) در سطح الکترود خمیر کربن واجد نانو لوله های کربنی چند دیواره اصلاح شده با موز (a) تازه تهیه شده و (b) پس از گذشت ۲۰ روز ۶۵
- شكل ۵-۱۰- ولتاموگرام پالس تفاضلی محلول دوپامین (pH = ۷/۰/۰) در سطح الکترود: (a) خمیر کربن تنها، (b) خمیر کربن حاوی موز ، (c) خمیر کربن واجد نانو لوله های کربنی چند دیواره و (d) خمیر کربن واجد نانو لوله های کربنی چند دیواره اصلاح شده با موز ۶۶
- شكل ۵-۱۱- ولتاموگرام پالس تفاضلی محلول دوپامین در غلظتها مختلف در سطح الکترود خمیر کربن واجد نانو لوله های کربنی چند دیواره اصلاح شده با موز (pH = ۷/۰/۰) ب): منحنی استاندارد جریان اکسایش دوپامین بر حسب غلظت آن ۶۷
- شكل ۵-۱۲- ولتاموگرام پالس تفاضلی محلول (a) دوپامین و (b) آسکوربیک اسید در سطح الکترود خمیر کربن واجد نانو لوله های کربنی چند دیواره اصلاح شده با موز (pH = ۷/۰/۰) ۶۸

فهرست جداول

صفحه

عنوان

جدول ۱-۳- مشخصات مواد شیمیایی مورد استفاده در این کار تحقیقاتی ۲۳
جدول ۴-۱: جدایی پیک دماغه‌ی اکسیداسیون آسکوربیک اسید و دوپامین در pH های مختلف ۳۳
جدول ۴-۲- نتایج تحقیقات سایر محققین در اندازه گیری آسکوربیک اسید ۵۰
جدول ۴-۳- نتایج تحقیقات سایر محققین در اندازه گیری دوپامین ۵۱

فهرست شمای

صفحه

عنوان

شمای ۲-۱- نمایش مراحل مختلف اصلاح الکترود طلا بصورت شماتیک ۲۸

فهرست علایم و اختصارات

M	مولار
mM	میلی مولار
μM	میکرو مولار
nm	نانو متر

چکیده:

در این تحقیق اصلاح الکترود طلا با تک لایه های خود انباشته و نانو ذرات طلا بررسی شد.

به این ترتیب که ابتدا تک لایه‌ی خود انباشته‌ای از تیول مخلوط شامل ۱،۶-هگزان دای تیول و ۱-

اکتان تیول روی سطح بستر طلا ایجاد شد و سپس نانو ذرات طلا روی گروه SH- آزاد ۱،۶-هگزان

دای تیول تثبیت شده اند. رفتار الکتروشیمیایی الکترود اصلاح شده تهیه شده طی مراحل مختلف

اصلاح توسط روش ولتاوری چرخه‌ای بررسی شد. آزمایشات نشان داده است که در سطح الکترود

اصلاح شده با نانو ذرات طلا، دماغه‌های اکسیداسیون آسکوربیک اسید و دوپامین بصورت جدا از هم

ظاهر شده است که در نتیجه می‌توان هر کدام از این دو گونه‌ی بیولوژیکی را در حضور هم اندازه

گیری نمود. اندازه گیری آسکوربیک اسید و دوپامین به سه روش ولتاوری با روش خطی، ولتاوری

پالس تفاضلی و ولتاوری موج مربعی انجام گرفت و برای هر سه روش نیز محدوده‌ی خطی غلظت و

حد تشخیص ذکر شده است. اثر سرعت روش پتانسیل بر فرآیند اکسایش الکتروکاتالیزی آسکوربیک

اسید و دوپامین در سطح الکترود طلای اصلاح شده با تک لایه خود انباشته واجد نانو ذرات طلا

بررسی شد و ضریب انتشار آسکوربیک اسید و دوپامین تعیین گردید. اثر مزاحمت گلوتاتیون و T-

سیستئین بر اندازه گیری آسکوربیک اسید و دوپامین در سطح الکترود طلای اصلاح شده با تک لایه

خود انباشته واجد نانو ذرات طلا، نیز مورد بررسی قرار گرفت و مشخص شد که مزاحمتی برای

اندازه گیری آسکوربیک اسید و دوپامین ایجاد نمی‌کنند.

در بخش بعدی رفتار الکترود خمیر کربن واجد نانو لوله‌های کربنی چند دیواره اصلاح شده

با موز مورد مطالعه قرار گرفت. به این ترتیب که الکترود خمیر کربن با نانو لوله‌های کربنی چند

دیواره و موز اصلاح شد و در هر مرحله اصلاح، رفتار الکتروشیمیایی الکترود توسط ولتاوری چرخه

ای مطالعه شد. پس از وارد کردن موز در پیکره‌ی الکترود خمیر کربن واجد نانو لوله‌های کربنی،

دماغه های اکسایشی و کاهشی ظاهر شد که احتمال می رود مربوط به آنزیم پلی فنول اکسیداز باشد.

پارامترهای مختلف درصد نانو لوله های کربنی، درصد موز، تأثیر pH، تأثیر حرارت و سرعت

رووش پتانسیل روی پاسخ الکتروشیمیایی الکترود اصلاح شده مورد مطالعه قرار گرفت. به منظور

مقایسه الکترود اصلاح شده ای با نانو لوله های کربنی و سبب نیز تهیه شد که دماغه های مشابهی

مشاهده گردید که می تواند تأییدی بر این باشد که دماغه ها مربوط به آنزیم پلی فنول اکسیداز می

باشد. تکرار پذیری الکترود نیز توسط رووش های متوالی به روشن ولتاوی رووش خطی مطالعه شد.

همچنین از الکترود خمیر کربن واجد نانو لوله های کربنی اصلاح شده با موز برای اندازه گیری

دوپامین استفاده شد و اثر مزاحمت آسکوربیک اسید بر اندازه گیری دوپامین مورد بررسی قرار گرفت.

فصل اول:

مقدمه

مقدمه:

در سالهای اخیر رشد الکتروشیمی تجزیه‌ای به عنوان شاخه‌ای از شیمی تجزیه بسیار چشمگیر بوده است. با نگاهی گذرا به تاریخچه‌ی الکتروشیمی تجزیه‌ای ملاحظه می‌شود که تا نیمه اول سال ۱۹۷۰ میلادی فهرست الکترودهای قابل دسترس برای الکتروشیمیدان‌ها به مواردی نظیر طلا [۱]، پلاتین [۲]، نیکل [۳] و کربن شیشه‌ای [۴] محدود می‌شد، در حالی که امروزه با بکارگیری انواع مختلف اصلاحگرها و در نتیجه الکترودهای اصلاح شده‌ی شیمیابی، تعداد الکترودهای مورد استفاده برای مقاصد مختلف تجزیه‌ای افزایش چشمگیری یافته است [۵]. الکترودهای اصلاح شده‌ی شیمیابی، نگرش جدیدی به سیستمهای الکترودی است. این الکترودها به تثبیت گزینشی یک معرف بر روی سطح یک بستر هادی الکتریسیته با هدف استفاده از ویژگیهای گونه تثبیت شده در سطح اصلاح شده مربوط می‌شوند. بنابراین، این چنین تعویض هدفمند سطوح الکترودی می‌تواند بسیاری از مشکلات الکتروشیمی تجزیه‌ای را از بین برد و زمینه‌ای را برای کاربردهای جدید تجزیه‌ای و وسائل حسی مختلف فراهم سازد [۶].

از نظر تاریخی کار در زمینه الکترودهای اصلاح شده‌ی شیمیابی از سال ۱۹۷۴ میلادی با اتصال کووالانسی مشتقاتی از سیلیسیم به مواد مختلف توسط گروه موری^۱ آغاز شد [۷]. از آن پس مواد گوناگونی شامل گروه‌های ردوکس، لیگاند، حدواتهای مبادله کننده الکترون و ترکیبات دارای مراکر کایرال را بصورت‌های مختلف بر سطوح الکترودها تثبیت شدند [۸-۱۰] که برای تهیه الکترودهای اصلاح شده از روش‌های مختلفی نظیر ایجاد پیوند کووالانسی [۱۱]، جذب سطحی [۱۲]، تثبیت فیلم پلیمری [۱۳]، تثبیت آنزیم [۱۴، ۱۵]، تشکیل تک لایه‌ی خود انباسته [۱۶، ۱۷]، تثبیت نانوذرات [۱۸، ۱۹] و غیره استفاده می‌شود. از بین اصلاحگرها مختلف، تک لایه‌های خود انباسته (SAMs)^۲ بعلت دارا بودن قابلیت‌های گوناگون، نظیر تک لایه‌های خود انباسته‌ی الیگونوکلئوتیدها در سطح الکترود طلا برای ساخت زیست‌حسگرهای دو رگه سازی DNA [۶]، بررسی سرعت انتقال بار پروتئین‌ها [۲۰] و غیره توجه زیادی را به خود جلب کرده‌اند [۲۱]. تک لایه‌های خود انباسته، تک لایه‌هایی از آلکان‌تیول

^۱ - Murray

^۲ - Self-assembled monolayer

های نرمال ($X(CH_2)_nSH$) با $n \geq 10$ یا یک گروه عاملی) می باشند که بطور خودبخودی روی سطح طلا در نتیجه برهمکنش قوی بین طلا و گوگرد جذب سطحی می شوند. این پدیده باعث تغییر هدایت الکتریکی الکترود تشکیل شده می گردد. این نوع تک لایه ها، معمولاً از شناور سازی الکترود طلا به مدت یک شب در محلولهای اتانولی دارای غلظتها میلی مولار از آلکان تیولها به وجود می آیند. تشکیل تک لایه های آلی - گوگردی خوداباشته توجه زیادی را به دلیل کاربردهای بالقوه علمی و با ارزش از لحاظ فناوری نظری مطالعات سینتیکی [۲۲]، تهیه زیست حسگرها [۲۳، ۲۴]، از ۱۹۸۰ به بعد به خود جلب کرده است [۲۵-۲۷]. علاوه بر مطالعات اساسی روی ساختار این نوع لایه ها و انتقال الکترون با برد طولانی، کاربردهایی نظری تهیه حسگرهای الکتروشیمیایی [۲۸، ۲۹] و شیمیایی [۳۰]، لیتوگرافی [۳۱] و غیره را نیز در بر دارند.

شکستن پیوند S-H در تشکیل تک لایه، نقش کلیدی دارد:



نیروهای واندروالسی بین گروههای متیل، به تک لایه جهت می بخشنند. بنابراین، چنین فرآیند خود انباستگی، نتیجه تک لایه های پایدار و خوب سازمان یافته است که در جریان آن، دنباله های هیدروکربنی به موازات یکدیگر و با زاویه انحرافی در حدود 30° درجه نسبت به خط عمود بر سطح در کنار هم صف آرایی می کنند.

لایه های نازک و غیر متخلخل قرار گرفته در نزدیکی هم (با پوشش سطحی حدود 9×10^{-10} مول بر سانتیمتر مربع)، مانع از انتقال گونه ها بر رویه ای طلای قرار گرفته در زیر لایه ای نازک می شوند. نحوه ای قرار گرفتن و آرایش ملکولها، تابع عواملی نظری طول زنجیر، طبیعت گروه انتهایی، طبیعت حلال، زمان شناور سازی و ساختار سطح بستر است. ساختارهایی با بی نظمی فزاینده، با چگالی استقرار و پوشش سطحی پایین، در جریان کاهش طول زنجیر ($n \leq 10$) مشاهده می شود. این نوع بی نظمی و دیگر انواع آن و همچنین وجود تقایص ساختاری (مانند وجود سوراخهای ریز) غالباً منجر به افت کارایی الکترود تهیه شده می شود. نانو ساختارهای SAM طراحی شده، می توانند

به کمک فن لیتوگرافی یا قلم غوطه ور مبتنی بر میکروسکوپی نیروی اتمی (AFM)^۱، تهیه شوند [۳۲].

تازگی استفاده از SAM ها، از توانایی آنها برای اصلاح شدن مجدد(از طریق اتصال کووالان مواد مختلف به گروه عاملی انتهایی، X)، به صورت لایه های فعال سطحی شیمیایی یا زیستی نشأت می گیرد. این کاربرد SAM ها

^۱ - Atomic force microscopy - based “dip-pen” lithographic technique

برای اتصال عوامل گوناگون، می تواند موجب برهmekش هایی در قالب تشکیل کمپلکس، رسوب و یا تعویض یون شود که برای کاربردهای حسگری حائز اهمیت است.

یکی دیگر از این قابلیت های تک لایه های خود انباشته، استفاده از تک لایه ها بعنوان زیر لایه ای برای ثبت نانو ذرات فلزی، از جمله نانو ذرات طلا روی سطح الکترود می باشد. که از این طریق می توان الکترودی در ابعاد نانو تهیه کرد. کاربرد نانو فناوری در الکتروشیمی بسیار مورد توجه قرار گرفته است که یکی از دلایل آن خواص غیر معمول فیزیکی (ساختری، الکترونیکی، نوری و مغناطیسی) و شیمیایی (کاتالیزی) نانو ذرات است. در سالهای اخیر نانو ذرات طلا بعلت خواص فیزیکی-شیمیایی ویژه ای که دارند، بسیار مورد مطالعه قرار گرفته اند [۳۳].

یکی از کاربردهای الکترودهای اصلاح شده با نانو ذرات فلزی از طریق تک لایه های خود انباشته تسريع سرعت فرآیندهای الکتروشیمیایی با سیستمیک کند و در نتیجه اندازه گیری الکتروشیمیایی برخی از گونه های مهم بیولوژیکی یا صنعتی است که روی سطح الکترودهای معمولی قابل اندازه گیری نیست.

دوپامین، (DA)، یک انتقال دهنده ای عصبی می باشد که نقش مهمی در سیستم عصبی مرکزی ایفاء کرده و کمبود آن در بدن عوارضی مانند پارکینسون، شیزوفرنی را سبب می شود [۳۴]. مشکل عمدۀ در اندازه گیری الکتروشیمیایی DA در نمونه های حقیقی وجود ترکیبات دیگر از جمله آسکوربیک اسید، AA، است که نمی توان میزان حقیقی هر کدام از اینها را در حضور یکدیگر به روش الکتروشیمیایی در سطوح الکترودهای متداول اندازه گیری کرد. این امر به دلیل ولتاژ اضافی زیاد اکسایش آنها در سطح الکترودهای متداول و همپوشانی علامت تجزیه ای آنها است. AA نیز از جمله مواد بیولوژیکی مهمی است که اندازه گیری انتخابی آن نیز از اهمیت ویژه ای برخوردار است [۳۵، ۳۶]. آسکوربیک اسید یا ویتامین C، یک ویتامین محلول در آب است که برای تولید کلائز در بدن نیاز است. کمبود شدید این ویتامین منجر به بیماری آسکوربوت می شود. فرم فعال آن L-آسکوربیک اسید است که بعنوان یک ضد اکسیده با خشی کردن رادیکالهای آزاد و با احیای ویتامین E از فرم رادیکالی به فرم فعال، عمل می کند.

خونریزی لثه ها، التیام نیافتن زخمهای، صدمه زدن به استخوانها و دیگر بافت‌های بدن از علایم بیماری آسکوربوت است. در صنعت نیز، برای جلوگیری از گندیدگی و تخریب ماهی از آسکوربیک اسید استفاده می شود [۳۷]. به همین

جهت تلاشهای زیادی بمنظور ساخت الکترود اصلاح شده ای که در سطح آن اندازه گیری همزمان این دو ترکیب در یک نمونه آزمایشی امکان پذیر باشد، صورت گرفته است [۴۰-۳۸].

آنژیم ها نیز از جمله موادی هستند که از آنها بمنظور ساخت الکترود اصلاح شده استفاده می شود [۴۱]. آنژیم ها پروتئین هایی هستند که واکنش های شیمیایی را در سیستم های حیاتی کاتالیز می کنند. برای ساخت الکترود اصلاح شده با آنژیم، می توان لایه ای از آنژیم را بر سطح الکترود ثبیت کرد. از آنجاییکه پایداری آنژیم های جدا شده محدود می باشد و برخی از آنژیم ها گرانبها بوده و یا حتی بصورت خالص در دسترس نمی باشند، می توان از مواد سلولی نظیر بافت های گیاهی که حاوی آنژیم مورد نظر می باشند برای اصلاح الکترود استفاده نمود. بطور مثال، بافت موز که از پلی فنول اکسیداز غنی است، می تواند با مخلوط شدن، در پیکره ی خمیر کربن وارد شده و حسگری حساس و با پاسخ سریع برای دوپامین ایجاد کند [۴۲].

مطالعات نشان داده است که نانو مواد دارای خواص ویژه ای هستند. نانو لوله های کربنی دسته ای از نانو مواد هستند که از آنها نیز برای تهیه الکترود های اصلاح شده بطور گسترده ای استفاده شده است [۴۴، ۴۳]. نانو لوبه های کربنی سرعت انتقال الکترون را در واکنش های الکتروشیمیایی افزایش می دهند [۴۵].

بخش اول این پایان نامه، مربوط به تهیه الکترود اصلاح شده ای با تک لایه ی خود انباسته واجد نانو ذرات طلا و سپس اندازه گیری DA و AA در حضور یکدیگر، در سطح این الکترود اصلاح شده، و بخش دوم مربوط به ساخت الکترود خمیر کربن واجد نانو لوله های کربنی چند دیواره اصلاح شده با موز و بررسی رفتار الکتروشیمیایی و اندازه گیری دوپامین توسط این الکترود می باشد.

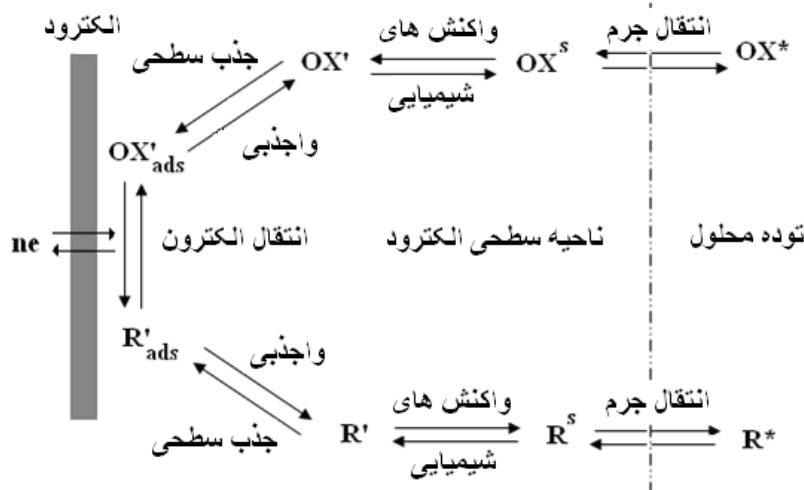
فصل دوم:

مبانی تئوری

۱-۲- واکنشهای الکتروشیمیایی

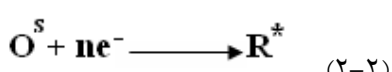
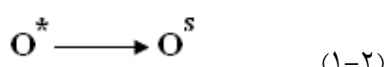
واکنشهای الکتروشیمیایی به بخش عمده‌ای از فرآیندهای مبادله الکترون اطلاق می‌شود که در سطح مشترک

الکترود - محلول الکتروولیت انجام شده و شامل مراحل زیر است (شکل ۱-۲) [۴۶]:



شکل ۱-۲- مسیر کلی یک واکنش الکتروشیمیایی [۴۶]

به طوری مشاهده می‌شود یک واکنش الکتروشیمیایی علاوه بر مرحله انتقال الکترون ممکن است دارای مراحل دیگری مانند انتقال جرم، واکنشهای شیمیایی همراه، جذب سطحی و تشکیل فاز باشد. بنابراین، سرعت کلی واکنش الکتروشیمیایی و در نتیجه شدت جریان حاصل از آن را مرحله‌ای تعیین یا محدود می‌کند که دارای کمترین سرعت باشد. از اینرو مراحل اصلی واکنش الکترودی $O + ne^- \longrightarrow R$ را می‌توان به صورت زیر نشان داد:



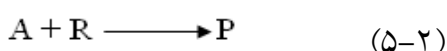
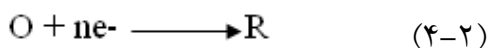
که در آن نمادهای * و s به ترتیب نشان دهنده‌ی حضور گونه‌های شیمیایی در داخل محلول و در سطح الکترود می‌باشند. بسته به سرعت‌های نسبی مراحل انتقال جرم و انتقال الکترون در مقایسه با یکدیگر، واکنش الکترودی ممکن است با محدودیت‌های مختلف از نظر انتقال جرم یا انتقال الکترون و یا هر دو همراه باشد.

اگر سرعت انتقال جرم از سرعت انتقال الکترون کمتر باشد، واکنش الکتروودی را کنترل شده با انتقال جرم می نامند. در صورتی که سرعت انتقال الکترون از سرعت انتقال جرم کمتر باشد واکنش الکتروودی را کنترل شده با انتقال الکترون می نامند. چنانچه سرعت مراحل انتقال جرم و انتقال الکترون با یکدیگر قابل مقایسه باشد، سرعت هر دو مرحله بر سرعت کلی واکنش الکتروودی تأثیر گذاشته و در نتیجه، واکنش الکتروودی تحت کنترل مختلط انتقال جرم و انتقال الکترون قرار می گیرد.

همانطور که ذکر شد واکنش های الکتروودی معمولاً با یکسری واکنش های دیگر از قبیل واکنش های شیمیایی همراه، جذب سطحی و تشکیل فاز همراه هستند که هر کدام را به اختصار شرح می دهیم:

۲-۲- واکنشهای شیمیایی همراه

گونه های تشکیل شده در اثر انتقال الکترون ممکن است در محیط پایدار باشند و فقط حد واسطی باشند که با تغییر شیمیایی به محصول نهایی تبدیل شوند. از اینرو، پاسخ ثبت شده در بسیاری از آزمایش های الکتروشیمیایی، تا حد زیادی متناسب با واکنش پذیری شیمیایی گونه های محصول یا واکنشگر تغییر می کند. در بیشتر مطالعات، یکی از واکنشگرهای در اثر انجام واکنش شیمیایی یا مبادله الکترون در سطح الکتروود تولید می شود و از بین رفتن واکنشگر در طول زمان در نتیجه واکنش شیمیایی با روش اسپکتروسکوپی و یا الکتروشیمیایی بررسی می گردد. از دیدگاه الکتروشیمی، چنین سیستم ها به عنوان فرایند الکتروشیمیایی همراه شده با واکنش های شیمیایی مؤخر به شمار می آیند [۴۷]، یعنی:



نوع دیگر، فرایند الکتروشیمیایی همراه شده با واکنش های شیمیایی مقدم می باشد که در آن یک واکنش شیمیایی کند بر مرحله انتقال بار پیشی می گیرد [۴۸].